

طیبه ایزدیار (کارشناس ارشد)

علی اکبر اکرامی (استاد)

دانشکده‌ی مهندسی و علم مواد، دانشگاه صنعتی شریف

در این تحقیق با استفاده از انجام عملیات گرمایی در دماهای مختلف و سپس سردکردن با سرعتهای متفاوت، بر روی فولاد AISI ۴۳۴۰، ساختارهایی از فریت با اندازه دانه‌های مختلف به دست آمد. در ادامه، با عملیات گرمایی تابکاری بین بحرانی در دماهای مختلف و عملیات گرمایی بازپخت آنتیتی (استمپرینگ) به ساختارهای دوفازی فریت - بینایت دست یافتیم. عدد اندازه دانه‌ی فریت با استاندارد ۱۱۲ ASTM-E، و درصد حجمی آن با استفاده از روش آنالیز تصویری^۱ تعیین شد. المیه دماهای عملیات گرمایی تابکاری بین بحرانی چنان انتخاب شدند که درصد حجمی فاز فریت در همه‌ی ساختارها تقریباً یکسان (حدود ۳۴٪) باشد. نتایج آزمون‌های خواص مکانیکی - نظیر سختی، کشش، و ضربه - نشان داد که همانند دیگر مواد، با ریزشدن اندازه دانه فریت، سختی و استحکام افزایش می‌یابد. بین اندازه دانه و استحکام تسلیم رابطه‌ی هال - پچ برقرار است. همچنین با ریزشدن دانه‌ها درصد ازدیاد طول یکنواخت کاهش، و درصد ازدیاد طول کل افزایش می‌یابد.

tayebehizadyar@alum.sharif.edu
ekrami@sharif.edu

واژگان کلیدی: اندازه دانه‌ی فریت، خواص مکانیکی، فولاد دوفازی.

مقدمه

استحکام این نوع فولادها، اندازه دانه‌ی فریت را کاهش داده‌اند.^[۱-۳] مطالعات در این زمینه به سمت ساختارهای خیلی ریز پیش می‌رود. اکثر تحقیقات انجام شده درمورد فولادهای دوفازی فریتی - مارتنتیتی بوده، و در ساختارهای فریتی - بینایتی تحقیقات اندکی انجام شده است. با توجه به این که اندازه دانه‌ی فریت در توزیع تابه‌جایی‌ها تأثیر دارد و کنترل کننده‌ی رفتار مکانیکی است، در این تحقیق اثر اندازه دانه‌ی فریت بر خواص مکانیکی فولاد AISI ۴۳۴۰ با ساختار دوفازی فریت - بینایت بررسی شده است.

روش تحقیق

ماده‌ی اولیه‌ی مورد استفاده در این تحقیق، فولاد AISI ۴۳۴۰ است که قابل تبدیل به فولادهای دوفازی است. آنالیز شیمیایی این فولاد به روش کوانتمتری تعیین و در جدول ۱ آورده شده است.

برای ایجاد ساختار دوفازی فریتی - بینایتی با اندازه دانه‌ی متفاوت فریت، دو چرخه‌ی گرمایی انجام شد. در چرخه‌ی اول، به دنبال عملیات گرمایی در دماهای مختلف و سردکردن با سرعتهای متفاوت، ساختارهایی با اندازه دانه‌ی مختلف به دست آمد که اندازه دانه‌ی آن‌ها طبق استاندارد E-۱۱۲ ASTM تعیین شد. مشخصات چرخه‌ی گرمایی اول و قطر متوسط دانه‌ی فریت در جدول ۲ آمده است.

قبل از چرخه‌ی گرمایی دوم، ابتدا با استفاده از روابط ۱ نسبت به تعیین دماهای

فولادهای دارای ساختار فریت - مارتنتیت یا فریت - بینایت را «فولادهای دوفازی» می‌نامند که از جمله فولادهای دوفازی با استحکام بالا هستند.^[۱] ساختار دوفازی ضرورتاً ساختارهای متشکل از فازهای فریت - مارتنتیت یا فریت - بینایت است، اما کمی پرلیت یا آستینیت باقی‌مانده نیز بعضاً در کنار آنها وجود خواهد داشت. به طور کلی فولادهای دوفازی به دو روش تولید می‌شوند: ۱. عملیات حرارتی؛ ۲. عملیات نورد گرم.^[۱-۲] در این تحقیق، برای تولید فولاد دوفازی از روش اول (روش عملیات حرارتی) استفاده شده است. این نوع فولادها به علت نسبت بالای استحکام به وزن و نیز بیزگی‌های خوب شکل‌بندیری، در صنایع اتومبیل‌سازی و دیگر موارد مهندسی کاربرد زیادی دارند.^[۳] افزون بر این، در استحکام کششی یکسان، این نوع مواد نسبت به دیگر فولادهای با علت نسبت بالای استحکام به شکل‌بندیری بسیار بهتری برخوردارند.^[۲] رفتارهای مکانیکی این نوع فولادها وابسته به ساختار و ترکیب شیمیایی آن‌ها گزارش شده است.^[۴] به عبارت دیگر نوع، اندازه و حجم فازهای مختلف به شدت کنترل کننده‌ی رفتارهای مکانیکی هستند.^[۲]

در دهه‌ی ۸۰ تأثیر کسر حجمی و اندازه دانه‌ی فازهای مختلف بر تعییر فرم کششی فولادهای دوفازی فریتی - مارتنتیتی با ترکیب ۱۲٪ درصد کربن بررسی شده است.^[۲] در سال‌های بعد با توجه به تأثیر اندازه دانه‌ی فریت بر خواص مکانیکی آن تحقیقات بیشتری انجام شده است.^[۴-۵] در مطالعات اخیر، برای افزایش بیشتر در

تاریخ: دریافت ۳/۶/۱۳۸۷، داوری ۱۱/۳/۱۳۸۸، پذیرش ۱/۷/۱۳۸۸

جدول ۱. آنالیز شیمیایی فولاد مورد نظر (wt%).

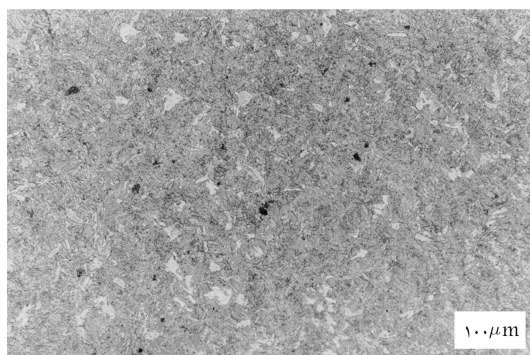
Fe	C	Si	Mn	P	S	Cr	Ni	Mo
Base	۰,۴۴	۰,۲۳	۰,۷	۰,۰۲۵	۰,۰۱	۰,۹	۱,۸	۰,۲۵

آزمون های خواص مکانیکی

- آزمون سختی سنجی: سختی نمونه های عملیات حرارتی شده، به شکل ماکروسکوپی سنجیده شد. البته قبل از سختی سنجی، سطح نمونه ها به دقت سنگ زده شده و با سنباده های ۲۰۰ و ۵۰۰ پرداخت شدند. سپس با استفاده از دستگاه ولپرت تحت تحریری ۱۸۷/۵ کیلوگرم به روش بریتان، سختی اندازه گیری شد.
- آزمون کشش: نمونه های کشش مطابق با استاندارد ASTM-A ۳۷۰ به شده و آزمون کشش با دستگاه اینسیترون مدل ۱۱۱۵ در دمای اتاق و با سرعت ۰,۲ (سانتی متر بر دقیقه) انجام شد.
- آزمون ضربه: به روش شارپی و پس از تهیه نمونه های ضربه مطابق با استاندارد ASTM-A-۳۷۰، با دستگاه Avery و با سرعت ۵/۲۵ متر بر ثانیه، در دمای اتاق انجام شد.

نتایج و بحث

بررسی های متالوگرافی روی نمونه فولادی نشان داد که ساختار اولیه در برگیرنده ریز ساختارهای به دست آمده بعد از انجام دو چرخه گرمایی ذکر شده در شکل های ۲، ۳ و ۴ ارائه شده است. در این تصویرها فاز فریت به رنگ روشن و ساختار پر لیت است. محلول حکاکی نایتال ۲٪ بوده است.



شکل ۱. ریز ساختار اولیه فولاد مورد نظر.

بحranی بالایی، پائینی و دمای Ms فولاد مورد نظر و نیز تعیین وسعت منطقه دوفازی اقدام شد (جدول ۳).

$$\begin{aligned}
 Ac_1 &= 723 - 10,7Mn - 16,9Ni + 29,7Si + 16,9Cr + \\
 &\quad 290As + 6,38W. \\
 Ac_7 &= 910 - 20,3vc - 15,2Ni + 44,7Si + 10,4V + \\
 &\quad 31,5Mo + 13,1W. \\
 Ms &= 539 - 423C - 30,4Mn - 12,1Cr - \\
 &\quad 17,7Ni - 7,5Mo. \\
 \end{aligned} \tag{1}$$

مشخصات چرخه گرمایی دوم در جدول ۴ آمده است. برای به دست آوردن ساختارهایی با درصد حجمی یکسان از فریت (تقریباً ۲۴ درصد)، دماهای منطقه دوفازی در نمونه ها متفاوت انتخاب شده است.^[۱۵] با توجه به فرایند جوانه زنی و رشد ساختار دوفازی آستانیت - فریت از ساختار فریت - پر لیت، هرچه ساختار ظرفیتر باشد استحالت سریع تر انجام می گیرد و در دماهای پایین تر به مقدار ۶۶٪ آستانیت و ۳۴٪ فریت می رسد.

جدول ۲. مشخصات چرخه گرمایی اول.

ردیف	دما (درجه‌ی سانتی‌گراد)	زمان (دقیقه)	محیط (سرد شدن)	قطر متوسط دانه (فاز فریت)
۱	۸۵۰	۶۰	هوای ۲,۵ میکرون متر	
۲	۹۰۰	۶۰	کوره ۶ میکرون متر	
۳	۱۰۵۰	۶۰	کوره ۱۳ میکرون متر	

جدول ۳. دماهای بحراei.

تمثیل مارتنزیت (درجه‌ی سانتی‌گراد)	دمای بحراei پائینی (درجه‌ی سانتی‌گراد)	دمای بحراei بالایی (درجه‌ی سانتی‌گراد)	مشخصه‌ی فولاد	قطر متوسط دانه (درجه‌ی سانتی‌گراد)
۲۸۶	۷۱۰	۷۶۸	AISI ۴۳۴۰	۷۶۸

جدول ۴. مشخصات چرخه گرمایی دوم.

ردیف	فریت (میکرون متر)	دمای منطقه دوفازی (درجه‌ی سانتی‌گراد)	زمان منطقه دوفازی (دقیقه)	کوره باز پخت	دمای باز پخت استنیتی (درجه‌ی سانتی‌گراد)	زمان باز پخت	محیط سرد شدن
۱	۲,۵	۷۲۰	۹۰	حمام نمک	۳۵۰	۶۰	هوای
۲	۶	۷۳۰	۹۰	حمام نمک	۳۵۰	۶۰	هوای
۳	۱۳	۷۴۰	۹۰	حمام نمک	۳۵۰	۶۰	هوای

و ساختار بینایت به رنگ تیره است. به علت تشکیل بینایت در دمای 350°C سانتی‌گراد و با توجه به دمای Ms فولاد، بینایت ایجاد شده از نوع بینایت پایینی است.

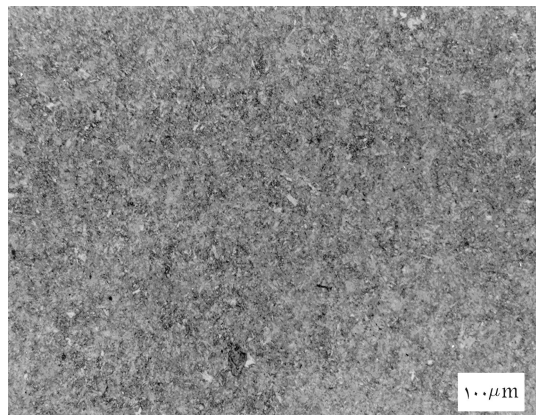
نتایج آزمون‌های مکانیکی

۱. مقادیر متوسط سختی در جدول ۵ ارائه شده است. نمودار تغییرات سختی با قطر متوسط دانه‌های فریت نیز در شکل ۵ نمایش داده شده است (سختی ماده اولیه 205 MPa بریتل است).

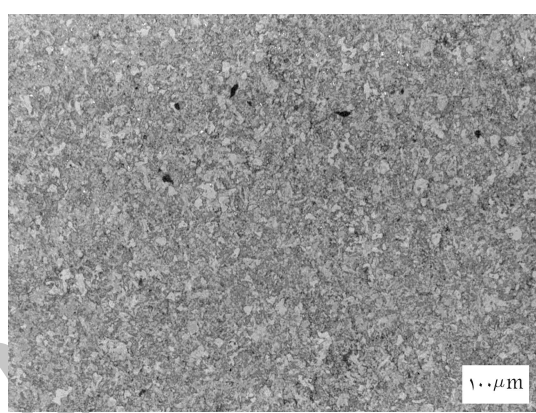
نتایج سختی‌سنجی نشان می‌دهد که ریزشدن ساختار منجر به افزایش سختی می‌شود. این پدیده ممکن است ناشی از افزایش مرزدانه‌ی فریت - بینایت، افزایش چگالی نابهجهایی در مرزدانه‌ها و در داخل دانه‌های فریت باشد.

۲. متحنی‌های تنش - کرنش (مهندسی) برای هر سه نوع ریزساختار در شکل ۶، خواص کششی حاصل از این متحنی‌ها در جدول ۵ نشان داده شده است. می‌توان چنین نتیجه گرفت که برای ریزشدن ساختار دوفازی، استحکام تسلیم (استحکام قراردادی در $2/20$ درصد کرنش)، استحکام کششی نهایی، وبالاخره درصد ازدیاد طول کل افزایش یافته اما درصد ازدیاد طول یکنواخت کاهش یافته است.

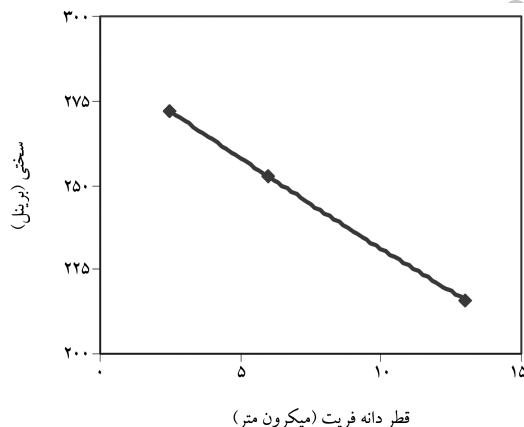
با ریزشدن ساختار دوفازی، مرزهای فریت و بینایت زیاد می‌شود و درنتیجه چگالی بالایی از نابهجهای‌ها در پشت این مرزها قرار می‌گیرد. همچنین تراکم زیاد نابهجهای‌ها و برخورد آنها با یکدیگر در ضمن تغییر شکل، موجب وقوع تسلیم در تنش‌های بالاتر^[۱۴] و به عبارتی افزایش استحکام تسلیم، می‌شود. تغییرات استحکام تسلیم با معکوس ریشه‌ی دوم قطر متوسط دانه در شکل ۷ نشان داده شده است. بین قطر متوسط دانه‌ها و استحکام تسلیم رابطه‌ی هال - بع



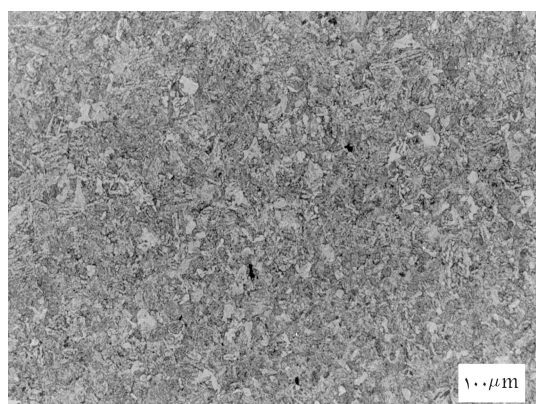
شکل ۲. ریزساختار نمونه یا قطر متوسط دانه‌ی $2,5$ میکرون‌متر.



شکل ۳. ریزساختار نمونه یا قطر متوسط دانه‌ی 6 میکرون‌متر.



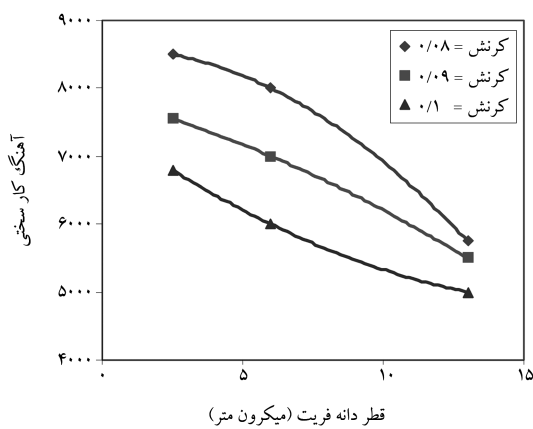
شکل ۵. تغییرات سختی با قطر متوسط دانه‌های فریت.



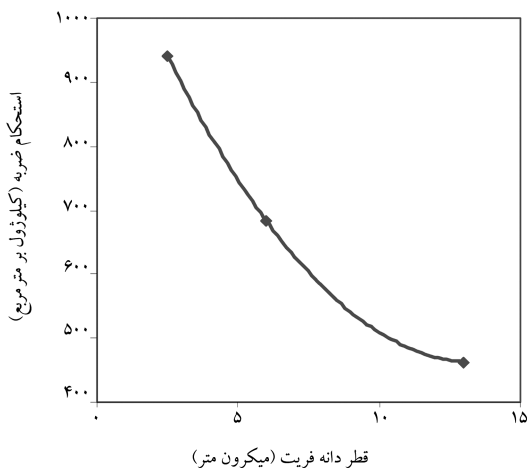
شکل ۴. ریزساختار نمونه یا قطر متوسط دانه‌ی 13 میکرون‌متر.

جدول ۵. نتایج خواص کششی فولاد دوفازی مورد نظر.

قطر متوسط دانه فریت (μm)	استحکام تسلیم قراردادی (MPa)	استحکام کششی نهایی (MPa)	ازدیاد طول یکنواخت (%)	ازدیاد طول کل (%)	سختی (BH)	استحکام ضربه JK/m^2
۲,۵	۶۲۰	۸۹۰	۱۶,۶	۲۹	۲۷۲	۹۴۰
۶	۵۳۰	۸۱۴	۱۷,۵	۲۸,۶	۲۵۲,۵	۶۸۳
۱۳	۵۰۰	۸۰۴	۱۷,۲	۲۷	۲۱۶	۴۶۲,۵



شکل ۸. تغییرات آهنگ کارسختی با قطر دانه فریت در کرنش‌های مختلف.



شکل ۹. تغییرات استحکام ضربه با قطر متوسط دانه فریت.

۲. اندازه‌ی ترک اولیه: اندازه‌ی ترک اولیه به دانه‌ها محدود می‌شود و نهایتاً برابر اندازه‌ی دانه فریت است. بنابراین هرچه ساختار ریزتر شود، اندازه‌ی ترک اولیه کمتر می‌شود، زمان شکست به تعویق می‌افتد، و چقرمگی افزایش می‌یابد.^[۱۷]

- ### نتیجه‌گیری
- با انجام عملیات حرارتی، ساختار دوفازی فریت - بینایت با ۳۴٪ فریت و دانه‌بندی متفاوت ایجاد شد. نتایج آزمایش‌های مکانیکی نشان می‌دهد:
- کاهش در اندازه دانه فریت، به افزایش سختی فولاد دوفازی می‌انجامد.
 - کاهش در اندازه دانه فریت فولاد دوفازی، موجب افزایش در استحکام تسلیم و استحکام کششی نهایی می‌شود، به طوری که بین اندازه دانه فریت و استحکام تسلیم رابطه‌ی هال - پیچ برقرار است.
 - کاهش در اندازه دانه فریت فولاد دوفازی، باعث افزایش آهنگ کارسختی و درنتیجه کاهش درصد افزایش طول یکنواخت و افزایش درصد افزایش طول کل شده است.
 - کاهش در اندازه دانه فریت فولاد دوفازی، استحکام ضربه‌ی نمونه‌ها را تا حد زیادی افزایش داده، به عبارتی می‌توان گفت چقرمگی شکست به میزان زیادی بهبود یافته است.

برقرار است، و در فولاد دوفازی مورد تحقیق رابطه‌ی ۲ برقرار است.

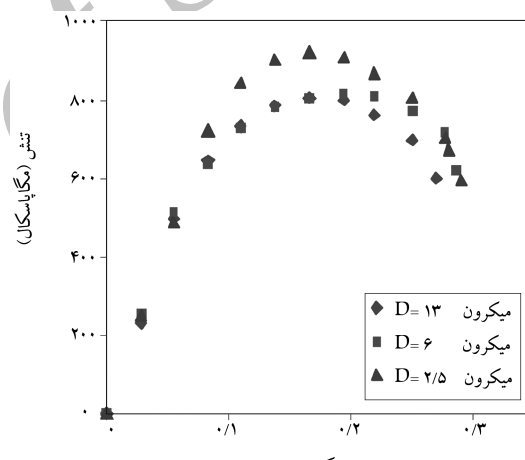
$$\sigma_y = 465 + 344,827d^{-0.5} \quad (2)$$

برای بررسی تغییرات آهنگ کارسختی با ریزشدن ساختار دوفازی، منحنی تغییرات آن به ازای کرنش‌های مشخص ($\epsilon = 0, 0.05, 0.1, 0.08$) در اندازه دانه‌های متفاوت، در شکل ۸ نشان داده شده است. این نمودار نشان می‌دهد که در یک کرنش معین با ریزشدن ساختار دوفازی، آهنگ کارسختی افزایش یافته است. بین آهنگ کارسختی، گلوبی شدن رابطه‌ی وجود دارد، به طوری که با افزایش آهنگ کارسختی، گلوبی شدن در نشان داده (استحکام کششی نهایی بالاتر) رخ می‌دهد.^[۱۶] بنابراین با ریزشدن ساختار دوفازی، استحکام کششی نهایی افزایش یافته است.

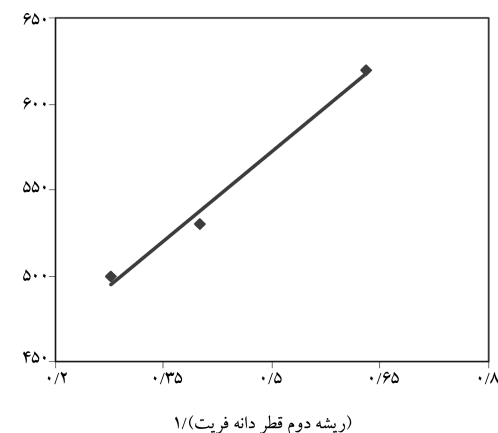
۳. نتایج آزمون ضربه در جدول ۵ و تغییرات استحکام ضربه با قطر متوسط دانه‌های فریت در شکل ۹ نشان داده شده است.

از اطلاعات داده شده در جدول ۵ و نیز مشاهده‌ی شکل ۹ چنین برمی‌آید که با ریزشدن ساختار، استحکام ضربه بهشت افزایش یافته است؛ علت این رفتار را می‌توان در دو مورد جست و جو کرد:

۱. مرزدانه‌ها: ریزشدن ساختار که باعث افزایش مرزدانه‌ها می‌شود و این مرزدانه‌ها از اشاعه‌ی ترک جلوگیری کرده و برای رسیدگی ترک نیاز به انرژی بالاتری است.



شکل ۶. منحنی‌های نشان - کرنش (مهندسی).



شکل ۷. تغییرات استحکام تسلیم با d_2 .

پابنوهت

- leica microsystems image solutions, 2000, version 3.

منابع

- Speich, G.R., *Dual Phase Steels*, Metals Hand book, 1, 10th, ASM, Ed, pp. 424-429 (1990).
- Speich, G.R., *Fundamentals of Dual-Phase Steels*, The Metallurgical Society of AIME, pp. 43-45 (1981).
- Anand Prakash Modi. "Effects of microstructure and experimental parameters on high stress abrasive wear behavior of a 0.19% C dual phase steel", *Tribology International*, **40**, pp. 490-497 (2007).
- Reuben, R.L. and Baker, T.N. "The tensile deformation of a martensitic dual phase steel", *Mat. Sci. A*, **63**, pp. 229-238 (1984).
- Chang, Peng-Heng and Preban, A.G. "The effect of ferrite grain size and martesite volume fraction on the tensile properties of dual phase steel", *Acta Metallurgica*, **33**(5), pp. 897-903, (May 1985).
- Zhonghao Jiang and Zhenzhong Guan. "Effects of micro structural variables on the deformation behavior of dual phase steel", *Mat. Sci. A*, **190**, pp. 55-64 (1995).
- Mondal, D.K. and Dey. R.M. "Effect of grain size on the microstructure and mechanical properties of a C-Mn-V dual phase steel", *Mat. Sci. A*, **149**(2), pp. 173-181 (January 1992).
- Bayram, Ali; Uguz, Agah and Ula, Murat. "Effects of microstructure and notches on the mechanical properties of dual phase steels", *Materials Characterization*, **43**, pp. 259-269 (1999).
- Tavares, S.S.M.; Pedroza, P.D.; Teodosio, J.R. and Gurova, T. "Mechanical properties of a quenched and tempered dual phase steels", *Scripta Materialia*, **40**(8), pp. 887-892 (1999).
- Delince, M.; Jacques, P.J. and Pardoen, T. "Separation of size-dependent strengthening contributions in fine-grained dual phase steels by nanoindentation", *Acta materialia*, **54**, pp. 3395-3404 (2006).
- Tsuchida, N. and Masuda, H. "Effect of ferrite grain size on tensile deformation behavior of a ferrite-cementite low carbon steel", *Mat. Sci. and Eng. A*, **488**(1-2) pp. 446-452 (2008).
- Haiwei Xu and Wangyue Yang. "Mechanical properties of fine grained dual phase low carbon steels based on dynamic transformation", *journal of university of science and technology Beijing, mineral metallurgy, material*, **15**(5), pp. 556-560 (October 2008).
- . شریفی، حسن، بررسی اثر اندازه دانه (فریت) بر رفتار خستگی فولادهای دو fazی فریتی - مارتزیتی، پایان نامه کارشناسی ارشد، دانشکده مهندسی و علم مواد، دانشگاه صنعتی شریف (۱۳۷۶).
- Young Il Son; Young Kook Lee; Kyung-Tae Park; Chong Soo Lee and Dong Hyuk Shin. "Ultrafine grained ferrite-martensite dual phase steels fabricated via equal channel angular pressing: Microstructure and properties", *Acta Materialia*, **53**, pp. 3125-3134 (2005).
- Kumar, A.; Singh, S.B. and Ray, K.K. "Influence of bainite / martensite-content on the tensile properties of low carbon dual- phase steels", *Mat. Sci. A*, Article in press (2007).
- . اکرامی، علی اکبر، تغییر شکل و مکانیک شکست مواد و آلیاژهای مهندسی، انتشارات علمی دانشگاه صنعتی شریف، صفحه ۱۹-۱۷ (۱۳۸۲).
- . اکرامی، علی اکبر، تغییر شکل و مکانیک شکست مواد و آلیاژهای مهندسی، انتشارات علمی دانشگاه صنعتی شریف، صفحه ۶۵۰-۶۵۱ (۱۳۸۲).